

그림 6. 4종류의 ITO 필름의 저항률의 bending 시간 의존성.

Fig. 6. The bending-time dependence of four other ITO film resistivity.

그림 7에 4종류의 ITO 필름의 위치에 따른 시간에 따른 저항률의 bending 시간 의존성을 나타내었다. 그림 7(a)에 나타낸 바와 같이, ITO 필름의 중앙 부분에서는 모든 구조에서 bending 시간에 따라 저항률이 크게 증가하는 현상을 나타내었다. 특히, 한 면이 hardcoat 된 구조 (SSC-7) 에서는 저항률이 매우 급격히 증가하였다. 그러나 한 면이 hardcoat 된 구조 (SSC-6) 에서는 저항률이 그다지 변화하지 않는 경향을 나타내었다. 따라서 같은 한면이 hardcoat 된 구조에서도 재질에 따라 bending 시간에 의한 저항값이 크게 차이가 나타나는 것을 알 수 있다. 또한 그림 7(b)에 나타낸 바와 같이, ITO 필름의 가장자리 부분에서는 SSC-7을 제외한 3종류의 구조에서는 bending 시간이 15분까지 저항값이 그다지 변화하지 않는 경향을 나타내었다. 이러한 결과로부터, ITO 필름의 중앙부분인 C에서의 저항 변화율이 끝 부분인 A에서 보다 bending 시간에 따라 급격하게 증가한다는 것을 알 수 있다.

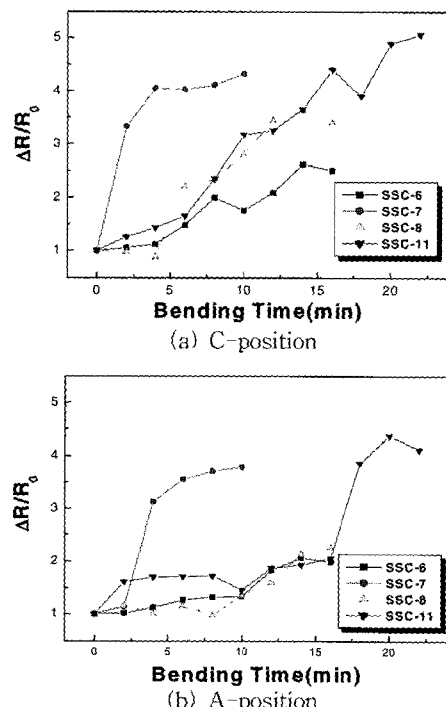


그림 7. 4종류의 ITO 필름의 위치에 따른 저항률의 bending 시간 의존성.

Fig. 7. The bending-time dependence of four other ITO film resistivity according to the position.

